

Фактор поврежденности в оценке напряженно-деформированного состояния в зонах концентрации напряжений

Н. И. Бобырь, В. В. Коваль

Национальный технический университет Украины “Киевский политехнический институт имени Игоря Сикорского”, Киев, Украина

mmidpm@gmail.com

Приведены и проанализированы инженерные методы расчета напряжений и деформаций в зонах концентрации при упругопластическом деформировании конструктивных элементов. Показано, что для оценки кинетики эффективных коэффициентов концентрации напряжений и деформаций наиболее приемлемой по точности является модификация Махутовым уравнения Нойбера. Введено понятие рассеянной поврежденности. Влияние рассеянных повреждений на оценку напряженно-деформированного состояния конструктивных элементов показано на примере упругопластического деформирования пластины с отверстием.

Ключевые слова: концентрация напряжений и деформаций, поврежденность, методы расчета напряженно-деформированного состояния, механические свойства конструкционных материалов.

Введение. Повышение достоверности оценки напряженно-деформированного состояния (НДС) элементов конструкций и прогнозирования их ресурса как на стадии проектирования, так и на стадии эксплуатации в настоящее время обусловлено введением в систему определяющих уравнений параметров поврежденности, как правило, в виде кинетических уравнений [1–4]. При этом для инженерных расчетов используют феноменологический подход, который базируется на основных положениях континуальной механики повреждений (КМП). Идеи этого подхода впервые были сформулированы в работах [1, 2] применительно к разрушению в условиях одноосной ползучести.

В настоящее время модель КМП успешно применяется в качестве универсального метода решения различных задач разрушения на стадии зарождения макротрешины. Для начально-изотропного в неповрежденном материале в этом случае принимается следующее:

термосиловое эксплуатационное нагружение (деформирование) сопровождается накоплением рассеянных повреждений в виде непрерывных и необратимых микроструктурных изменений в материале;

рассеянные повреждения равномерно возникают и развиваются в каждом репрезентативном структурном элементе материала;

в качестве такого репрезентативного элемента ориентировано принимается линейный размер зерна в поликристаллическом материале;

наличие порога поврежденности (предел пропорциональности для задач теории пластичности и предел выносливости для инженерных);

рассеянные повреждения интегрально влияют на деградацию основных механических характеристик конструкционных материалов при различных видах нагружения;

влияние первого инварианта тензора напряжений $I_1(T_\sigma)$ на кинетику процесса рассеянного разрушения;

нелинейная зависимость накопления повреждений в конструкционном материале от напряжений, деформаций, времени или числа циклов.

В качестве параметра поврежденности в первом приближении принимают скалярный параметр, основанный на деформационном или энергетическом подходе. В КМП используется, как правило, энергетический подход. Он базируется на результатах исследований в области материаловедения и механики повреждений, а также на некоторых разделах термодинамики необратимых процессов, теории инвариантов, тензорного анализа и механике твердого деформируемого тела [3, 4].

В зонах концентрации, где наблюдается существенно неоднородное распределение амплитудных значений напряжений и деформаций в процессе циклического упрочнения или разупрочнения, вероятное локальное упругопластическое деформирование сопровождается накоплением рассеянных повреждений.

Применительно к малоцикловому нагружению в настоящее время развиваются два основных направления: первое предусматривает численное моделирование процессов малоциклового нагружения (деформирования) конструкционных материалов на основе концепции обобщенной диаграммы циклического деформирования [5]; второе (менее трудоемкое) базируется на разработке приближенных инженерных методов оценки изменения в процессе термосилового нагружения эффективных коэффициентов концентрации по напряжениям K_σ и деформациям K_ε в упругопластической области исходя из известных значений теоретического коэффициента концентрации напряжений α_σ в упругой области [6–9].

Целью данной работы является определение достоверности использования современных инженерных методов оценки эффективных коэффициентов концентрации напряжений и деформаций, а также возможность уточнения расчетов путем введения параметров поврежденности.

Методы определения эффективных коэффициентов концентрации. Для одного вида концентратора напряжений сравним результаты расчета K_σ и K_ε по наиболее часто применяемым в настоящее время уравнениям.

Согласно уравнению Нойбера, имеем [6]

$$K_\sigma K_\varepsilon = \alpha_\sigma^2; \quad (1)$$

$$K_\sigma = \frac{\sigma_{i \max}}{\sigma_{iH}}; \quad K_\varepsilon = \frac{\varepsilon_{i \max}}{\varepsilon_{iH}}, \quad (2)$$

где $\sigma_{i \max}$, $\varepsilon_{i \max}$, σ_{iH} , ε_{iH} – интенсивности максимальных и номинальных напряжений и деформаций соответственно.

Для металлических материалов согласно (1) получены завышенные значения K_σ и K_ε , особенно по деформациям [5, 7].

Метод Глинки базируется на предположении, что удельная энергия деформации в основе концентратора W_σ равна номинальной удельной энергии W_H [8]:

$$W_\sigma = \alpha_\sigma^2 W_H, \quad (3)$$

где

$$W_\sigma = \int_0^{\varepsilon_i} \sigma_i(\varepsilon_i) d\varepsilon_i; \quad W_H = \int_0^{\varepsilon_i} \sigma_{iH}(\varepsilon_{iH}) d\varepsilon_{iH}.$$

Модификация Махутовым уравнения Нойбера предусматривает учет вида диаграммы деформирования, в том числе и циклической. Для статического нагружения она записывается так [9]:

$$\frac{K_\sigma K_\varepsilon}{\alpha_\sigma^2} = \frac{1}{(\alpha_\sigma \bar{\sigma}_n)^{n(1-\bar{m})} \left[1 - \left(\bar{\sigma}_n - \frac{1}{\alpha_\sigma} \right) \right]}, \quad (4)$$

где $\bar{\sigma}_n = \sigma_n / \sigma_{\text{пп}}$ – относительное номинальное напряжение; n – постоянная, определяемая из расчета или эксперимента для заданных α_σ и $\bar{\sigma}_n$; \bar{m} – коэффициент упрочнения.

Правая часть выражения (4) для предельного упругого состояния равна единице. При увеличении упругопластических деформаций данное значение уменьшается до определенного минимума, что соответствует потере устойчивости пластической деформации в зоне концентратора.

Модификация Биргером уравнения Нойбера предусматривает, что действительная деформация в зоне концентратора имеет вид

$$\varepsilon_i = \frac{1}{2} (\varepsilon_{i \max} + \varepsilon_{i \min}); \quad \varepsilon_{i \min} = \alpha_\sigma \varepsilon_{iH}; \quad \varepsilon_{i \max} = \frac{\alpha_\sigma^2}{K_\sigma} \varepsilon_{iH}. \quad (5)$$

После подстановки величины K_ε из (2) в (5) и последующего преобразования получим зависимость [10]

$$K_\sigma K_\varepsilon = \frac{\alpha_\sigma^2}{2} \left(1 + \frac{K_\sigma}{\alpha_\sigma} \right). \quad (6)$$

Для проверки достоверности пределов применимости уравнений (1), (3), (4) и (6) проведем расчет НДС цилиндрического образца диаметром 30 мм с кольцевой выточкой радиусом $R = 3$ мм из алюминиевого сплава АМг5М при статическом нагружении. Теоретический коэффициент концентрации напряжений $\alpha_\sigma = 2,77$. Образец нагружали осевой силой с напряжением в зоне выточки $\sigma_n = 95$ МПа. Расчет НДС в зоне концентратора выполнен с использованием программного пакета Femap with NX Nastran. Аналитические значения интенсивностей максимальных напряжений и деформаций рассчитывали по (2) с учетом уравнений (1), (3), (4) и (6).

Анализ применимости различных приближенных методов оценки концентрации напряжений показывает, что наиболее приемлемыми для инженерных расчетов являются методы Биргера и Махутова. Средняя погрешность по этим методам по сравнению с конечноэлементным расчетом составляет 4,6 и 3,3% соответственно.

В рамках общего термодинамического подхода к описанию внутренних необратимых процессов в твердом деформируемом теле в работе [10] предложена феноменологическая модель кинетики накопления рассеянных повреждений:

$$\frac{dD}{dt} = \left\{ \frac{\sigma_i^2}{2EB} \left[\frac{2}{3} (1+\mu) \left(\chi + (1-\chi) \frac{\sigma_1}{\sigma_i} \right)^2 + 3(1-2\mu) Q_\sigma^2 \right] \right\}^c \xi_i^{(p)}, \quad (7)$$

где B , c – параметры материала; μ – коэффициент Пуассона; Q_σ – параметр жесткости нагрузки, $Q_\sigma = \sigma_0 / \sigma_i$; $\xi_i^{(p)}$ – интенсивность скорости пластической деформации, $\xi_i^{(p)} = \sqrt{\frac{2}{3} \xi_{ij}^{(p)} \xi_{ij}^{(p)}}$.

Поскольку введение в зависимость (7) эквивалентного напряжения типа Писаренко–Лебедева ($\sigma_{\text{экв}} = \chi\sigma_i + (1-\chi)\sigma_1$) [11] позволяет учитывать два механизма разрушения: отрыв и срез, ее можно преобразовать следующим образом:

$$\frac{dD}{dt} = \left[\frac{\sigma_i^2}{2EB} R_\sigma \right]^c \xi_i^{(p)}, \quad (8)$$

где R_σ – функция вида напряженного состояния,

$$R_\sigma = \frac{2}{3}(1+\mu) \left[\chi + (1-\chi) \frac{\sigma_1}{\sigma_i} \right]^2 + 3(1-2\mu) Q_\sigma^2.$$

Данная функция может принимать такие значения: $R_\sigma = 1$ (при растяжении); $R_\sigma = \frac{2}{3}\chi^2(1+\mu) + \frac{1}{3}(1-2\mu)$ (при сжатии) и $R_\sigma = \frac{2}{9}(1+\mu)(1+\sqrt{3}\chi - \chi)^2$ (при кручении).

Параметры B и c определяются при испытании на растяжение образцов.

Зависимость (8) для степенного закона упрочнения $\sigma_i = A(\varepsilon_i^{(p)})^m$ после интегрирования принимает вид

$$D = \left[\frac{A^2}{2EB} \right]^c \frac{1}{S} [(\varepsilon^{(p)})^S - (\varepsilon_m^{(p)})^S], \quad (9)$$

где S – параметр материала, $S = 2mc+1$; $\varepsilon^{(p)}$ и $\varepsilon_t^{(p)}$ – текущее и пороговое (на уровне предела текучести) значение пластической деформации соответственно.

Уравнения (8) и (9) записаны для решения задач теории пластичности. Для решения задач прогнозирования ресурса элементов конструкций необходимо учитывать, что локальная пластическая деформация возникает в репрезентативном элементе еще на уровне предела выносливости материала [12]. Это видно из рис. 1, где показан начальный участок кривой накопления рассеянных повреждений в материале, который получен согласно методике [13]. Исследование проводили при температуре $T = 293$ К.

С учетом кинетики накопления рассеянных повреждений на начальном участке уравнение (9) принимает вид

$$D_R = D_t + \left[\frac{A^2}{2EB} \right]^c \frac{(\varepsilon^{(p)})^S}{S}, \quad (10)$$

где D_t – предельная поврежденность материала на уровне предела пропорциональности (текучести).

Зависимость D_t от уровня предельной пластичности материала показана на рис. 2.

Полученные экспериментальные результаты описываются следующей зависимостью:

$$D_t = K_1 \left(\frac{\psi_R}{\delta} \right)^2 + K_2 \left(\frac{\psi_R}{\delta} \right), \quad (11)$$

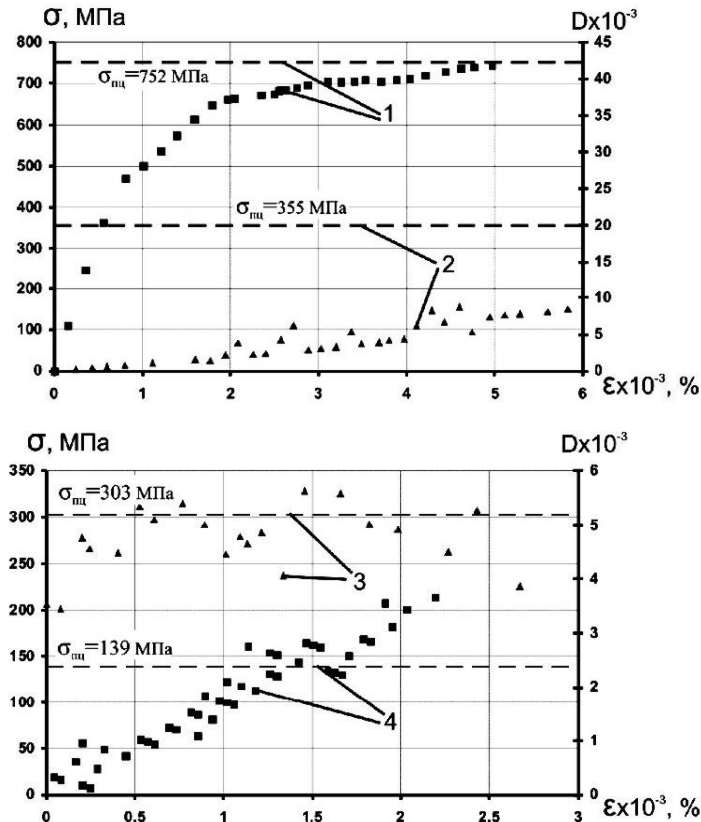


Рис. 1. Закономерности накопления повреждений на начальном участке диаграммы деформирования при одноосном растяжении образцов из сталей 18Х2Н4ВА (1), 15ХСНД (3), 12Х18Н10Т (4) и сплава D16T (2).

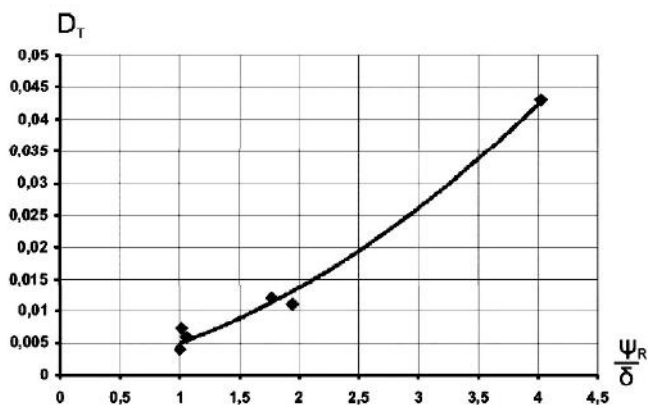


Рис. 2. Зависимость параметра поврежденности на уровне предела текучести от пластических свойств металлических материалов.

где δ – относительное удлинение; ψ_R – относительное сужение после разрыва; K_1 и K_2 – коэффициенты, $K_1 = 19 \cdot 10^{-4}$, $K_2 = 31 \cdot 10^{-4}$.

Согласно рис. 3 предельное значение параметра поврежденности D_R линейно зависит от пластических свойств металлических материалов, $D_R = 0,0078\psi_R$.

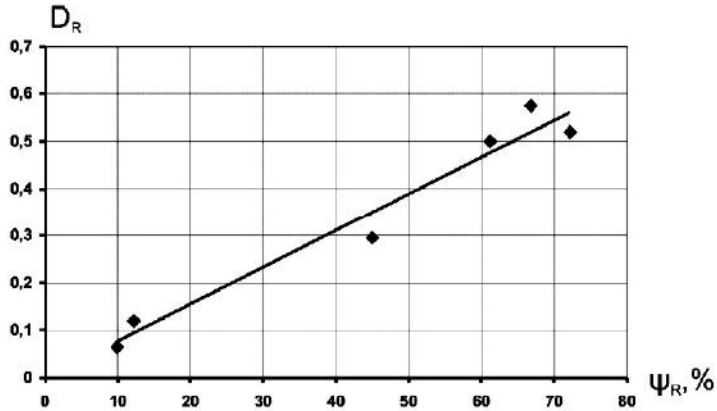


Рис. 3. Зависимость предельного значения параметра поврежденности от величины максимального относительного поперечного сужения металлических материалов.

Конкретизация параметра поврежденности позволяет использовать понятие эффективных напряжений $\sigma_{\text{эфф}}$ в диаграмме деформирования материала. Согласно этому подходу принимается гипотеза об инвариантности деформаций в поврежденном и неповрежденном материале, а эффективные напряжения определяются через действительное значение напряжений σ_d и соответствующее ему значение повреждения $D(\varepsilon)$:

$$\sigma_{\text{эфф}} = \frac{\sigma_d}{1 - D(\varepsilon)}. \quad (12)$$

Для степенной аппроксимации диаграммы деформирования в относительных величинах имеем

$$\bar{\sigma} = \begin{cases} \bar{\varepsilon}^{\bar{m}} & \text{для } \sigma > \sigma_t; \\ \bar{\varepsilon} & \text{для } \sigma \leq \sigma_t, \end{cases} \quad (13)$$

где $\bar{\sigma}$, $\bar{\varepsilon}$ – относительные напряжения и деформации соответственно, $\bar{\sigma} = \sigma/\sigma_t$, $\bar{\varepsilon} = \varepsilon/\varepsilon_t$; σ_t и ε_t – предел текучести (пропорциональности) по напряжениям и деформациям соответственно.

Если действительную и эффективную диаграммы деформирования в упруго-пластической области описать зависимостью типа (13), то с учетом уравнения (12) получим зависимость коэффициента упрочнения для эффективной диаграммы $\bar{m}_{\text{эфф}}$ от соответствующего коэффициента для действительной \bar{m}_d :

$$\bar{m}_{\text{эфф}} = \bar{m}_d + \log_{\bar{\varepsilon}} \left(\frac{1 - D_t}{1 - D(\bar{\varepsilon})} \right). \quad (14)$$

Таким образом, оценка параметра поврежденности и эффективного коэффициента упрочнения диаграммы деформирования согласно (10)–(12), (14) позволяет модернизировать расчетный метод Махутова путем уточнения правой части зависимости (4).

Значения пределов текучести σ_t и пределов прочности σ_b для диаграмм деформирования некоторых металлических материалов, а также величины параметров рассеянных повреждений приведены в таблице.

Механические свойства материалов и параметры рассеянных повреждений

Материал	σ_t , МПа		σ_b , МПа		Повреждение	
					D_t	D_R
Д16Т	$\frac{398}{399}$	(402)	$\frac{532}{558}$	(582)	0,0075	0,12
18Х2Н4ВА	$\frac{960}{1014}$	(1056)	$\frac{1343}{1516}$	(1649)	0,043	0,575
15ХСНД	$\frac{349}{352}$	(359)	$\frac{515}{600}$	(633)	0,012	0,50
12Х18Н10Т	$\frac{248}{249}$	(252)	$\frac{627}{1061}$	(1171)	0,006	0,52
ВТ22	$\frac{1236}{1253}$	(1264)	$\frac{1414}{1590}$	(1672)	0,011	0,065
07Х16Н6	$\frac{710}{736}$	(740)	$\frac{951}{1298}$	(1534)	0,004	0,295

Примечание. Над чертой приведены значения для условной диаграммы, под чертой – для действительной, в скобках – для эффективной.

Относительно незначительное влияние рассеянных повреждений на величину предела текучести при статическом нагружении дает существенный результат при расчете ресурса на мало- и многоцикловую усталость при использовании деформационных или энергетических критериев.

Рассмотрим влияние поврежденности на напряженно-деформированное состояние в условиях концентрации напряжений на примере пластины с отверстием.

Экспериментальная диаграмма деформирования конструкционных материалов в численных расчетах задавалась с помощью функции Multilinear Isotropic Hardening. Конечноэлементная сетка моделировалась путем разбиения пластины на отдельные зоны. В зоне концентрации напряжений сетка соответствующим образом сгущалась для повышения точности оценки НДС. Эта процедура выполнялась до тех пор, пока разница между двумя последовательными решениями не составляла менее 2%. Величина теоретического коэффициента концентрации напряжений α_σ определялась из упругого решения. Уровень повреждений при упругопластическом деформировании пластины определялся в соответствии с (10).

При расчете НДС с помощью пакета ANSYS использовались конечные элементы типа PLANE 82, поскольку они обеспечивают более точную аппроксимацию геометрии концентратора. Модель поврежденности вводилась в качестве подпрограммы пользователя. Это позволяет получать поля распределения рассеянных повреждений в зоне концентрации напряжений, а также оценить предельное состояние конструктивного элемента.

Пример результатов численного расчета полей распределения повреждений в зоне отверстия при одноосном активном растяжении пластины при величине внешней растягивающей нагрузки 200 МПа приведен на рис. 4.

Видно, что с увеличением диаметра отверстия растут зона повреждений в области концентратора и максимальное значение поврежденности.

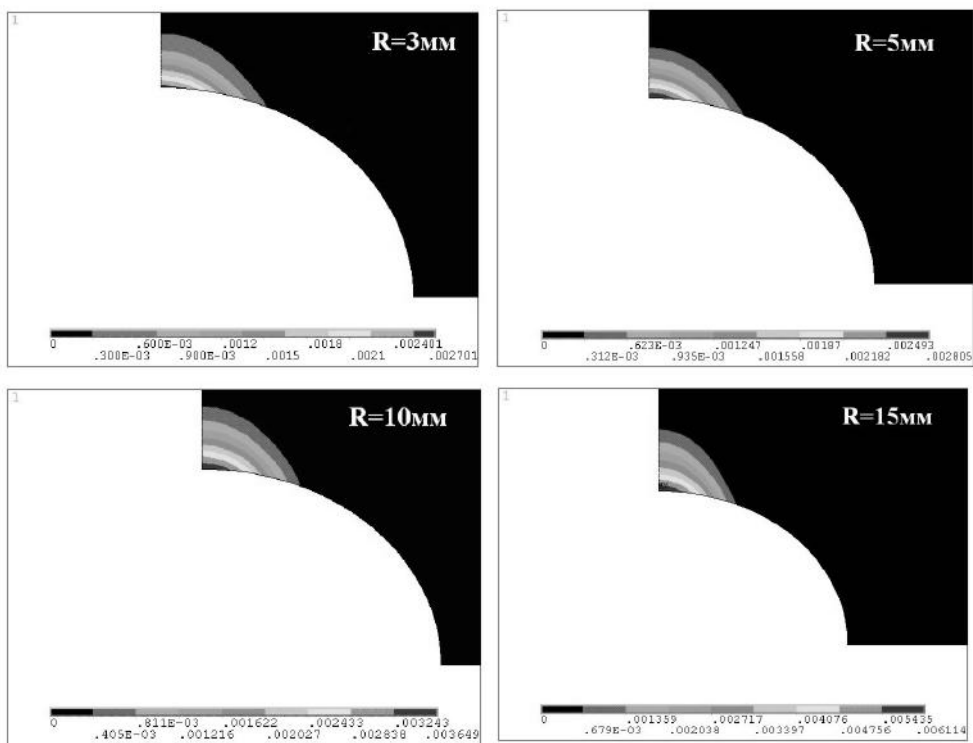


Рис. 4. Поля поврежденности для пластины с отверстием разного диаметра из сплава Д16Т.

Выводы

1. Анализ пределов применимости современных инженерных методов оценки эффективных коэффициентов концентрации напряжений и деформаций в упруго-пластической области показывает преимущества использования уравнения Махутова для элементов с концентраторами напряжений (деформаций).

2. Экспериментально подтверждено, что введение параметра поврежденности в систему определяющих уравнений существенно уточняет расчет НДС элементов конструкций при упругопластическом деформировании. При решении задач теории пластичности за пороговое значение параметра поврежденности необходимо принимать предел пропорциональности, а при оценке ресурса – предел выносливости конструкционного материала.

3. Показано, что использование в инженерных расчетах показателя предельного значения рассеянного повреждения $D_R = 1$ завышает реальную несущую способность металлических материалов на уровне предела прочности.

4. Разработанная методика в виде подпрограммы пользователя позволяет определять поля накопленных рассеянных повреждений и конкретизировать зоны вероятного возникновения макротрещины в элементах конструкций с учетом основных термосиловых параметров нагружения.

Резюме

Наведено і проаналізовано інженерні методи розрахунку напруженій і деформацій у зонах концентрації при пружно-пластичному деформуванні конструктивних елементів. Показано, що для оцінки кінетики ефективних коефіцієнтів концентрації напру-

жень і деформацій найбільш прийнятною за точністю є модифікація Махутовим рівняння Нойбера. Введено поняття розсіяної пошкодженості. Установлено ефективність використання параметра пошкодженості для оцінки вірогідності механічних властивостей ряду металічних матеріалів. Вплив розсіяних пошкоджень на оцінку напруженого-деформованого стану конструктивних елементів показано на прикладі пружно-пластичного деформування пластини з отвором.

1. Kachanov L. M. Introduction to Continuum Damage Mechanics. – Boston; Dordrecht: Martinus Nijhoff, 1986. – 148 p.
2. Работнов Ю. Н. Введение в механику разрушения. – М.: Наука, 1987. – 80 с.
3. Lemaitre J. and Desmorat R. Engineering Damage Mechanics. – Berlin; Heidelberg: Springer, 2005. – 380 p.
4. Bobyr' N. I., Grabovskii A. P., Timoshenko A. V., and Khalimon A. P. Procedure for the evaluation of the accumulation of defects in metallic structural materials under complex elastoplastic loading // Strength Mater. – 2006. – **38**, No. 1. – P. 92–98.
5. Серенсон С. В., Шнейдерович Р. М., Махутов Н. А. и др. Поля деформаций при малоцикловом нагружении. – М.: Наука, 1979. – 278 с.
6. Neuber H. Theory of stress concentration for shear-strained prismatical bodies with arbitrary nonlinear stress-strain law // J. Appl. Mech. – 1961. – **28**. – P. 544–550.
7. Биргер И. А. Прогнозирование ресурса при малоцикловой усталости // Пробл. прочности. – 1985. – № 10. – С. 39–44.
8. Glinka G. Energy density approach to calculation of inelastic strain-stress near notches and cracks // Eng. Fract. Mech. – 1985. – **22**, No. 3. – P. 485–508.
9. Махутов Н. А. Деформационные критерии разрушения и расчет элементов конструкций на прочность. – М.: Машиностроение, 1981. – 271 с.
10. Бобырь Н. И., Бабенко А. Е., Халимон А. П. Континуальная механика поврежденности и ее использование в задачах сложного малоциклического нагружения // Техн. диагностика и неразрушающий контроль. – 2008. – № 4. – С. 25–34.
11. Писаренко Г. С., Лебедев А. А. Деформирование и прочность материалов при сложном напряженном состоянии. – Киев: Наук. думка, 1976. – 416 с.
12. Трощенко В. Т. Деформирование и разрушение металлов при многоциклическом нагружении. – Киев: Наук. думка, 1981. – 340 с.
13. Тимошенко О. В., Коваль В. В., Кравчук Р. В. Вплив виду напруженого стану на критичне значення пошкоджуваності для конструкційних матеріалів при пружно-пластичному деформуванні // Вісн. НТУУ “КПІ”. Сер. Машинобудування. – 2011. – № 63. – С. 103–107.

Поступила 10. 04. 2017